

## 2.3 Divergenzen in Störungstheorie : Allgemeine Analyse

Kann man für beliebige Theorien die "counter terms"  $\delta m^2$ ,  $\delta Z_\phi = Z_\phi - 1$ , etc. wählen, daß die Niederenergiephysik endlich ist? Wann behält eine Theorie Vorhersagekraft?

Für diese Analyse definieren wir zunächst die kanonische Dimension eines Feldes.

Fällt der freie Propagator eines Feldes für große Impulse ab wie

$$\Delta(p) \equiv \left( \Gamma_{(p)}^{(2)\phi} \right)^{-1} \underset{p \rightarrow \infty}{\sim} \frac{1}{|p|^\sigma}, \quad \left( \begin{array}{l} \text{Annahme: Limes} \\ p \rightarrow \infty \text{ sei} \\ O(d) \text{ symmetrisch} \end{array} \right) \quad (2.28)$$

dann definieren wir die kanonische Dimension eines Feldes durch

$$[\phi] := \frac{d-\sigma}{2} \quad (2.29)$$

Beispiel: skalares Feld:  $\Delta(p) = \frac{1}{p^2+m^2} \underset{p^2 \rightarrow \infty}{\sim} \frac{1}{p^2}$ ,  $[\phi] = \frac{d-2}{2}$

Fermionisches Feld  $\Delta(p) = \frac{1}{p \not{x} + m} \underset{p \rightarrow \infty}{\sim} \frac{1}{p}$ ,  $[\psi] = \frac{d-1}{2}$  (2.30)

(NB. in diesen Beispielen läßt sich die kan. Dim. auch an der Wirkung ablesen, die dim'los sein soll:  $0 = \left[ \int d^d x \partial_\mu \phi \partial_\mu \phi \right] = \left[ \int d^d x \right] + 2[\partial_\mu] + 2[\phi] = -d + 2 + 2[\phi]$   
d.h. wir zählen Massendimensionen,  $[p] = [m] = 1$ ,  $[x] = -1$

Das Ablesen der kanonischen Dimension an der Wirkung ist nicht mehr möglich für höhere Spinfelder.

Beispiel: massives Vektorfeld  $V_\mu$

$$S(V) = \int d^d x \left[ \frac{1}{4} (\partial_\mu V_\nu - \partial_\nu V_\mu)^2 + \frac{1}{2} m^2 V_\mu V_\mu \right]$$

$$\Rightarrow \text{Propagator: } \Delta_{\mu\nu}(p) = \frac{\delta_{\mu\nu} + \frac{p_\mu p_\nu}{m^2}}{p^2 + m^2}$$

$$\Rightarrow \Delta_{\mu\nu}(p \rightarrow \infty) \sim \frac{1}{|p|^0} \Rightarrow [V_\mu] = \frac{d}{2}$$

(von der Wirkung hätten wir auf  $[V_\mu] \stackrel{?}{=} \frac{d-2}{2}$  geschlossen)

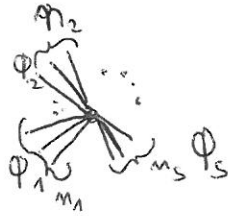
Ausnahmen bilden Eichfelder  $A_\mu$ . z.B. im Feynman

$$\text{Eichung gilt: } \Delta_{\mu\nu}(p) = \frac{\delta_{\mu\nu}}{p^2 + m^2},$$

$$\text{so daß hier } [A_\mu] = \frac{d-2}{2}$$

Bei polynomial wechselwirkenden Theorien läßt sich die WW schreiben als Summe von Vertices,

$$V(\Phi) \sim \int d^d x \left( \frac{\partial}{\partial x} \right)^k \phi_1(x)^{m_1} \phi_2(x)^{m_2} \dots \phi_s(x)^{m_s}, \quad (2.31)$$



( $\phi_1, \phi_2, \dots$  seien Felder  
verschiedenen Typs)

(Bsp  $\phi^3$ -Theorie:  $k=0, m_1=3, m_{i>1}=0$ )

Die Dimension eines Vertex' ergibt sich daher als

$$D[V] = -d + k + \sum_{i=1}^s m_i \cdot [\phi_i] \quad (2.32)$$

Vertex im Impulsraum:

$$V(\Phi) \sim \int d^d p_1 \dots \int d^d p_{m_1+m_2+\dots+m_s} \delta^d(p_1 + \dots + p_{m_1+m_2+\dots+m_s}) \quad (2.33)$$

$$P^k \phi_1(p_1) \dots \phi_s(p_{m_1+\dots+m_s})$$

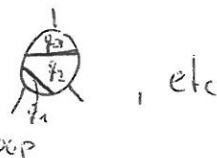
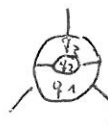
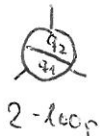
$\Rightarrow$  Jeder Vertex enthält eine Impuls-erhaltende  $\delta$ -Funktion.

Divergenzen im den  $n$ -Punkt eigentlichen Vertices  $\Gamma^{(n)}$

treten in den Integrationen über die Fluktuationsimpulse auf. Störungstheorie sortiert die Beiträge zu  $\Gamma^{(n)}$  nach

Zahl der unabh. Impulsintegrationen = # Loops

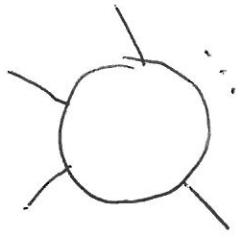
Bsp.:



Def.: oberflächlicher Divergenzgrad  $\mathcal{D}(\gamma)$  eines Diagramms  $\gamma$

Skalierung von allen Impulsintegrationen mit  $\lambda \gg 1$   
 $\Rightarrow$  Skalierung des Diagramms mit  $\lambda^{\mathcal{D}(\gamma)}$

Beispiel: 1-loop Diagramm



$$\mathcal{D}(\gamma)^{1\text{-loop}} = d - \sum_i I_i \nu_i + \sum_{\alpha} \nu_{\alpha} k_{\alpha}$$

$\uparrow$   $\int d^d \varphi$        $\uparrow$  Zahl von "inneren" Linien

$\downarrow$  Loop Verhalten der Prop's  
 $\downarrow$  # Loopbeim Vert.

$\uparrow$  # Vertices vom Typ  $\alpha$

Verallgemeinerung auf  $L$  loops:

$$\mathcal{D}(\gamma) = d L - \sum_i I_i \nu_i + \sum_{\alpha} \nu_{\alpha} k_{\alpha} \quad (2.34)$$

Falls  $\mathcal{D}(\gamma) > 0$  divergiert das Diagramm in cutoff-Regularisierung mindestens wie  $\Lambda^{\mathcal{D}(\gamma)}$ .

Falls  $\mathcal{D}(\gamma) = 0$  divergiert es mindestens wie  $\ln \Lambda$ .

Falls  $\mathcal{D}(\gamma) < 0$  ist es "oberflächlich" konvergent (es können noch Div's in Subdiagrammen stecken).

Beispiel:  $\phi^3$ -Theorie:  $\bar{v}=2, k=0$

$$\Rightarrow \delta(\gamma) = dL - 2I$$

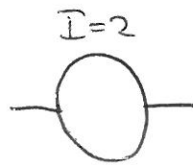
Sei  $d=6$  und  $L=1$  (1 loop Niveau):

$$\delta(\gamma) = 6 - 2I$$

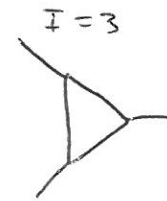
$$\Rightarrow \bar{I} = 1, 2, 3 \quad \Rightarrow \delta(\gamma) = 4, 2, 0$$



$$\Rightarrow \sim \Lambda^4$$



$$\sim \Lambda^2$$



$$\sim \ln \Lambda \quad \checkmark$$

## Topologische Relationen auf Diagrammen

- 1) Sei  $m_i^\alpha$  die # von Feldern  $\phi_i$  an einem Vertex vom Typ  $\alpha$ . Sei  $E_i$  die # der äußeren Linien und  $I_i$  der inneren Linien vom Feld  $\phi_i$ . Jede innere Linie verbindet 2 Vertices und jede äußere knüpft an 1 Vertex an:

$$E_i + 2I_i = \sum_{\alpha} m_i^{\alpha} v_{\alpha} \quad (2.35)$$

( $\phi^3$ -Theorie:  $m=3$ :  $E + 2I = 3v$ )

:  $4+2=6$  )

$$\begin{aligned}
 2) \quad L &= I - V + 1 \\
 &\equiv \sum_i \bar{I}_i - \sum_\alpha \bar{v}_\alpha + 1
 \end{aligned}
 \tag{2.36}$$

(Beweis: Betrachte zunächst "Baum"-Graphen ohne Loops:

$$0 = I - V + 1 \Big|_{\text{Baum}} \quad (*)$$

(\*) ist erfüllt für einfachstes Element mit  $I=1, V=2$ :  $\bullet \rightarrow \bullet$

alle höheren Baum-Graphen (ohne explizite äußere Linie) erzeugt man durch sukzessives Anheften eines weiteren Vertex' mit einer Verbindungslinie; dabei bleibt (\*) immer erfüllt.

Einen Loop erzeuge ich durch anschließendes Verknüpfen zweier Vertices mit einer inneren Linie ( $L$  und  $I$  erhöhen sich jeweils um 1); daraus folgt (2.36)

Nun folgt für  $\mathcal{S}(y)$ :

$$\mathcal{S}(y) \stackrel{(2.34)}{=} dL - \sum_i \bar{I}_i \bar{v}_i + \sum_\alpha \bar{v}_\alpha k_\alpha$$

$$\stackrel{(2.36)}{=} d \left( \sum_i \bar{I}_i - \sum_\alpha \bar{v}_\alpha + 1 \right) - \sum_i \bar{I}_i \bar{v}_i + \sum_\alpha \bar{v}_\alpha k_\alpha$$

$$= d + \sum_i \bar{I}_i (d - \bar{v}_i) + \sum_\alpha \bar{v}_\alpha (k_\alpha - d)$$

$$\stackrel{(2.35)}{=} d + \sum_{i\alpha} \underbrace{\frac{(d - \bar{v}_i)}{2} m_i^\alpha}_{[\Phi_i]} \bar{v}_\alpha - \sum_i \underbrace{\frac{(d - \bar{v}_i)}{2} E_i}_{[\Phi_i]} + \sum_\alpha \bar{v}_\alpha (k_\alpha - d)$$

$$= d - \sum_i [\Phi_i] E_i + \sum_\alpha \bar{v}_\alpha \underbrace{\left( k_\alpha - d + \sum_i m_i^\alpha [\Phi_i] \right)}_{\mathcal{S}(V_\alpha)}$$

$$\stackrel{(2.32)}{\Rightarrow} \mathcal{D}(\gamma) = d - \sum_i [\Phi_i] E_i + \sum_x v_x \mathcal{D}(V_x) \quad (2.37)$$

Diese Formel für den oberflächlichen Divergenzgrad erlaubt die

## 2.4 Klassifikation perturbativ renormierbarer Theorien

Dafür sei angenommen, daß die Analyse des oberflächlichen Divergenzgrads ausreicht, um Information über alle möglichen Divergenzen in Amplituden zu erhalten.

Das dies so ist besagt das BPHZ Theorem:  
(Bogoliubov, Parasiuk, Hepp, Zimmermann)

Alle Divergenzen einer perturbativ renormierbaren Theorie können durch Counterterme entfernt werden, die oberflächlich divergenten Amplituden entsprechen.

(Der Beweis ist sehr technisch; eine einfachere Idee für Renormierbarkeitsbeweise wird später skizziert)

Sei  $[\Phi_i] > 0$ . Dann ist eine Theorie:

Nicht-renormierbar, wenn mindestens ein Vertex positive Dimension hat:  $\mathcal{D}(V_d) > 0$ .

Durch Diagramme mit höheren und höheren  $v_x$  (höhere Loops) kann  $\mathcal{D}(\gamma)$  beliebig hoch werden

und das für jedes  $\Gamma^{(n)}$  (jede Zahl von äußeren Beinen  $E_i$ )

Das Kürzen von allen Divergenzen erfordert dann  $\infty$  viele counter terms, d.h.  $\infty$  viele Wechselwirkungen  $\Rightarrow \infty$  viele physikalische Parameter  $\Rightarrow$  Verlust aller Vorhersagekraft

Super-renormierbar, wenn alle  $\delta(V_k) < 0$ .

$\Rightarrow$  nur eine endliche Anzahl von Diagrammen ist oberflächlich divergent.

Beispiel:  $\phi^4$ -Theorie in  $d=3$ :

$$\delta(\gamma) = 3 - \frac{1}{2} E - \nu$$

$$E=2: \quad \begin{array}{ccc} \text{---} \bigcirc \text{---} & \text{---} \bigcirc \text{---} & \text{---} \bigcirc \text{---} \\ \nu=1 & \nu=2 & \nu=2 \end{array}$$

( $E=4$  hat mindestens  $\nu=2 \Rightarrow \delta(\gamma)|_{E=2} < 0$ )

Renormierbar, wenn mindestens ein  $\delta(V_k) = 0$   
(und kein  $\delta(V_k) > 0$ ).

$\Rightarrow \infty$  viele Diagramme haben  $\delta(\gamma) \geq 0$ , aber bei vorgegebenem  $E_i$  ist  $\delta(\gamma)$  unabhängig von  $\nu_k$



- $\Rightarrow$  ~~muß~~ eine endliche Zahl von  $\Gamma^{(n)}$  ist divergent  
 $\Rightarrow$  nur endlich viele Counter Terme notwendig  
 $\Rightarrow$  endlich viele physikalische Parameter  
 $\Rightarrow$  Theorie hat Vorhersagekraft.

Beispiele:  $\delta(V) \stackrel{(2.32)}{=} -d + k + \sum_{i=1}^s m_i [\phi_i]$

1) skalare Felder ohne Ableitungs-WW ( $k=0$ )

$$[\phi] = \frac{d-2}{2}$$

$$\Rightarrow \delta(V) = -d + n \frac{d-2}{2} = d \left( \frac{n}{2} - 1 \right) - n$$

$$\Rightarrow \phi^3 \quad \text{in } d=6$$

$$\phi^4 \quad \text{in } d=4$$

$$\phi^6 \quad \text{in } d=3 \quad \text{sind renormierbar}$$

2) Spin  $1/2$ ,  $[\psi] = \frac{d-1}{2}$

$$\Rightarrow [\bar{\psi}\psi]^2 \quad \text{in } d=2 \quad (\text{Gross-Neman Modell})$$

$$\bar{\psi}\psi\phi \quad \text{in } d=4 \quad (\text{Yukawa})$$

$$\bar{\psi}\psi\phi^2 \quad \text{in } d=3$$

3) Spin 1 (keine Eichtheorien):  $[V_\mu] = \frac{d}{2}$

renormierbar nur in  $d=2$  (Spin  $\sim \int \partial V \partial V$ )

z.B. mit  $\bar{\psi} \gamma_\mu \not{V}_\mu \psi$  - WW

4)  $Spin \geq \frac{3}{2}$  : es gibt keine perturbativ renormierbaren Theorien

5) Eichtheorien, Spin 1  $[A_\mu] = \frac{d-2}{2}$

$$F_{\mu\nu}^a F_{\mu\nu}^a \quad \text{in } d=4$$

$$\text{mit WW} \quad \bar{\Psi} \gamma_\mu A_\mu \Psi$$

$$\partial_\mu \Phi A_\mu \Phi, \quad \Phi^2 A^2$$

aber, z.B., WW mit explizit anomalem magnetischem

Moment  $\bar{\Psi} \sigma_{\mu\nu} F_{\mu\nu} \Psi$  ist nicht renormierbar,  $\epsilon(\nu)=1$

$\Rightarrow$  keine physikalisch akzeptable (in Teilchenphysik) und perturbativ renormierbare Theorie ist in  $d > 4$  bekannt!